



研 究 速 報

表 1

$x$	; axial distance	} nondimensional
$r$	; radial distance from the center	
$y$	; radial distance from the wall	
$p$	; pressure	
$u, v, w$	; velocity component	
$Re$	; Reynolds number ( $=U_0 D_0 / \nu$ )	
$t$	; time, nondimensional	
$\nu$	; kinetic viscosity	
$\nu_t$	; eddy viscosity, nondimensional	
$\epsilon$	; turbulence dissipation ratio	
$k$	; turbulence energy	
$\alpha$	; kinetic energy coefficient	
$\theta$	; divergent angle of diffuser	

主な記号を表 1 に示す。

本研究ではディフューザの形状を表現する離散化手法として二種類のものを選ぶ。一つはスタガードメッシュのHSMAC法を用いて傾斜面を階段状に近似する手法、もう一方は境界適合座標 (BFC)<sup>9)</sup>を用いて座標変換法により傾斜面形状を正しく評価するものである。

2.2 傾斜面階段状近似の手法

基礎方程式(1)~(6)をそのまま差分方程式群に離散化し連立させて解く。離散化の方法は時間的にAdams-Bashforth形スキーム、空間的に中心差分スキームを用いる(ただし運動方程式および $k, \epsilon$ の輸送方程式中の対流項について風上差分を用いることもある)。格子システムとしてはスタガードメッシュを採用する。また時間進展式と連続の式とのカップリングには速度圧力同時緩和法であるHSMAC法を用いる。

2.3 境界適合座標 (BFC) による手法

方程式(1)~(6)の微分をすべて展開し連続の式を用いて整理したものを基礎方程式として使う。また運動方程式の発散をとることにより $\pi (=p + \frac{2}{3}k)$ のポアソン方程式が得られる。

$$\begin{aligned} \nabla^2 \pi = & \frac{D^n}{\Delta t} - \left\{ \left( \frac{\partial \bar{u}}{\partial x} \right)^2 + \left( \frac{\partial \bar{v}}{\partial r} \right)^2 + 2 \left( \frac{\partial \bar{u}}{\partial r} \right) \left( \frac{\partial \bar{v}}{\partial x} \right) \right\} \\ & + 2 \left\{ \frac{\partial v_t}{\partial x} \cdot \nabla^2 \bar{u} + \frac{\partial v_t}{\partial r} \cdot \nabla^2 \bar{v} + \frac{\partial^2 v_t}{\partial x^2} \cdot \left( \frac{\partial \bar{u}}{\partial x} \right) \right. \\ & \left. + \frac{\partial^2 v_t}{\partial r^2} \cdot \left( \frac{\partial \bar{v}}{\partial r} \right) + \frac{\partial^2 v_t}{\partial x \partial r} \cdot \left( \frac{\partial \bar{v}}{\partial x} + \frac{\partial \bar{u}}{\partial r} \right) \right\} \quad (7) \end{aligned}$$

上式中 $D$ を含む項は消去してある。ただし $D$ の時間微分項についてはMAC法の考えに従い ( $D^{n+1} = 0$ ),

$$\frac{\partial D}{\partial t} = \frac{D^{n+1} - D^n}{\Delta t} = - \frac{D^n}{\Delta t}$$

のように近似する。

これら基礎方程式群における物理面上の微分は座標変換法を用いて計算面上の微分に変換する。

物理面 ( $x, r$ ) から計算面 ( $\xi, \eta$ ) への変換を次のように行う<sup>9)</sup>。

$$\left. \begin{aligned} \frac{\partial \phi}{\partial x} &= \xi_x \frac{\partial \phi}{\partial \xi} + \eta_x \frac{\partial \phi}{\partial \eta} \\ \frac{\partial \phi}{\partial r} &= \xi_r \frac{\partial \phi}{\partial \xi} + \eta_r \frac{\partial \phi}{\partial \eta} \\ \xi_x &= r_\eta / J, \quad \eta_x = -r_\xi / J \\ \xi_r &= -x_\eta / J, \quad \eta_r = x_\xi / J \\ J &= x_\xi \cdot r_\eta - x_\eta \cdot r_\xi \end{aligned} \right\} \quad (8)$$

2階微分以後は微分操作を繰り返せばよい。

ここで、座標変換後の対流項は次のように整理できる。

$$\bar{u} \frac{\partial \phi}{\partial x} + \bar{v} \frac{\partial \phi}{\partial r} = U_\xi \cdot \frac{\partial \phi}{\partial \xi} + U_\eta \frac{\partial \phi}{\partial \eta}$$

$$U_\xi = \xi_x \cdot \bar{u} + \xi_r \cdot \bar{v}$$

$$U_\eta = \eta_x \cdot \bar{u} + \eta_r \cdot \bar{v}$$

$U_\xi, U_\eta$  はそれぞれ $\xi, \eta$ 方向の反変速度ベクトルとなっている。これらに対流速度にとることにより計算面における風上化差分が可能となる。

離散化手法としては運動方程式の対流項について3次の風上差分、その他の空間差分については2次中心差分を用いる。時間方向スキームとしては粘性項にCrank-Nicolson, 他をAdams-Bashforthスキームを用い, point-SOR法により解く。また各時間ステップごとに $\pi$ のポアソン方程式(7)もpoint-SOR法で解く。

3. ディフューザ内流れの数値計算

3.1 計算対象および計算条件

本研究で計算対象とする流れ場は図1に示すように軸対称円すいディフューザ内の流れである。本報告では

- (1) 流体は軸対称の非圧縮性粘性流体であること
- (2) 流れ場において旋回運動はないこと
- (3) 重力の影響は存在しないこと
- (4) 流れ場において等方性乱れをもつこと

を仮定する。

数値計算における境界条件は次のとおりである。入口断面では主流方向速度として一様流入およびLauferによる実測値<sup>9)</sup>を与え、 $k$ および $\epsilon$ についてはLauferによる発達管内乱流の実測値 ( $k_{in} = 3.2 \times 10^{-3}$ ,  $\epsilon_{in} = 7.1 \times 10^{-4}$ ) を与えている。出口断面では速度、 $k, \epsilon$ について自由流出条件を適用する。ディフューザ部に相当する階段状多段階管の境界条件としては壁面に垂直方向速度成分を0、壁面に平行方向速度成分に関して1/7乗則を与えている。BFCを用いた計算例では壁面近傍の格子を直交化しているのもそのまま1/7乗則を用いる。 $k$ についてはfree-slipの条件を、また $\epsilon$ については壁面最近傍格子点の値を混合長理論より

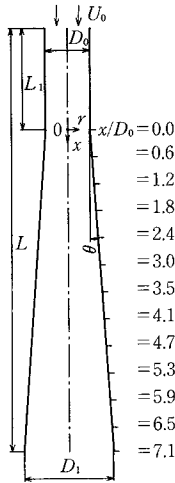


図1 円すいディフューザのモデル流路

$$\epsilon = C_b^{3/4} \cdot k^{3/2} / (\kappa \cdot y) \tag{9}$$

の関係を導入する。ここに  $\kappa$  はカルマン定数 (本報では  $\kappa = 0.4$ )、 $y$  は壁面から格子中央点までの距離である。

傾斜面階段状近似の手法における収束条件としては HSMAC法での発散の許容範囲を 1/100あるいは 1/1000に設定している。無次元時間刻みは 1/100あるいは 1/1000に設定している。BFCを用いた数値計算の収束条件としては、各時間ステップごとのSORの繰返し回数を20回に設定している。

境界条件と計算条件をまとめて表2に示す。

### 3.2 計算結果

第1段階として  $k$ - $\epsilon$ モデルによる数値計算を  $\theta = 4^\circ$  の軸対称円すいディフューザ内の乱流に適用する。計算対象のレイノルズ数  $Re$  は  $2.93 \times 10^5$  および  $1.16 \times 10^5$  である。計算結果について両解析手法を直接比較し、Okwuobi<sup>7)</sup> および Singh<sup>8)</sup> の実験データと比較する。

本報では三つの特定点の主流方向速度の値によって初期条件の影響が消える時点および解の安定状態の時点进行判定している。図2に A ( $x/D_0 = 0.063$ ,  $r/D_0 = 0.475$ )、B (3.562, 0.475)、C (7.062, 0.475) における主流方向速度の計算時間による変化を示す。

図3に流れ場全領域の速度  $\bar{u}$  の分布を示す (ケースAとB、CとD)。流入条件の違い (一様流入、ケースAとC、実験値、ケースBとD) により、 $\bar{u}$  における流入条件はディフューザ入口近傍のみならず流出口付近まで影響を及ぼすことがわかる。

図4に各断面の速度の計算値 (ケースBとD) および実測値との比較を示す。壁面近傍における流速はケースDよりケースBのほうが小さくなっている。この原因と

表2

CASE	A	B	C	D
Grid	staggered (MAC type)		regular (Grid Generation)	
Scheme (Time)	Adams-Bashforth		Crank-Nicolson (for 2nd diff.) Adams-Bashforth (for other)	
Scheme (Space)	Central	Doner Cell (for conv.) Central (for other)	3rd upwind (for conv.) Central (for other)	
Solution for pressure	Simultaneous iteration for $u, v$ & $p$ (HSMAC scheme)		SOR method for poisson eq. of $p$ (MAC scheme)	
Inflow	vel. uniform	exp. data	uniform	exp. data
B.C	$k, \epsilon$	$k_0 = 3.2 \times 10^{-3}$ , $\epsilon_0 = 7.2 \times 10^{-4}$		
Outflow B.C	divergence free			
Wall	vel.	1/7th power law		
	$k$	free slip		
B.C	$\epsilon$	auxiliary formula, Eq.(7)		
	$p$	—	free slip	
Model constant	$C_0 = 0.09$ , $C_1 = 1.59$ $\sigma_1 = 1.0$ , $C_2 = 2.0$ $\sigma_2 = 1.3$		$C_0 = 0.09$ , $C_1 = 1.44$ $\sigma_1 = 1.0$ , $C_2 = 1.92$ $\sigma_2 = 1.3$	
Time increment	1/1000	1/100	1/200	
Number of Grids	75 × 20		150 × 50	
Convergence condition	$\text{Max} \left\{ \left  \text{dif} \left( \frac{\partial \bar{u}_i}{\partial x_i} \right) \right _N \right\} < 1/1000$	$\text{Max} \left\{ \left  \text{dif} \left( \frac{\partial \bar{u}_i}{\partial x_i} \right) \right _N \right\} < 1/100$	20 sweep for SOR method (every time steps)	

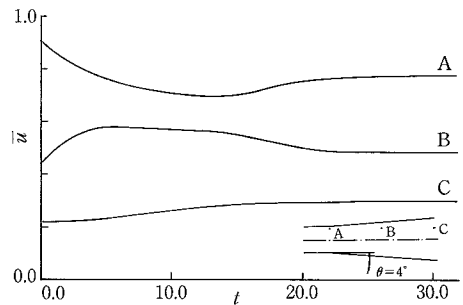


図2 主流方向速度計算値の時間変化 (ケースB)

しては、i) ケースBでは傾斜面に階段状近似を用いているので角部の影響が現れ剥離が促進された、ii) 壁面速度1/7乗則の影響 (1/7乗則では壁面応力の評価が壁面からの距離により異なる)、iii) 数値解法の違い、等が考

研 究 速 報

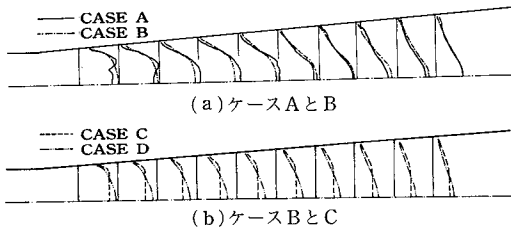
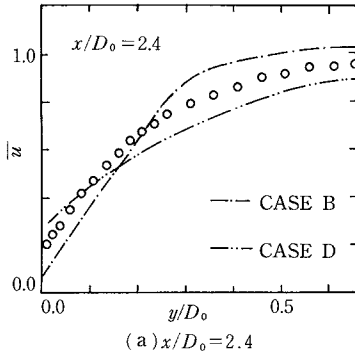
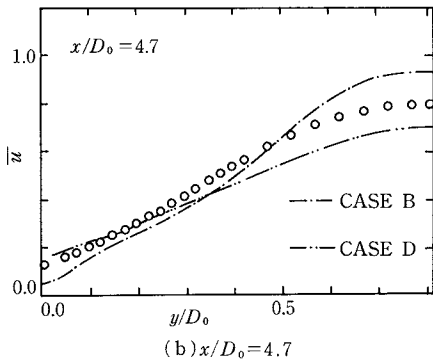


図 3 流れ場全領域の主流方向速度  $\bar{u}$  の分布



(a)  $x/D_0 = 2.4$



(b)  $x/D_0 = 4.7$

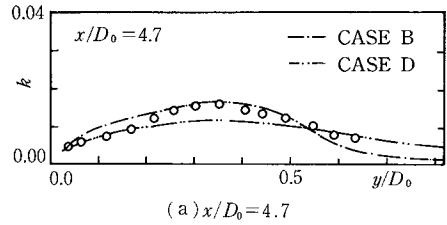
図 4 主流方向速度  $\bar{u}$  の分布 (ケース B と D)

えられる。また当然流量を保つために中心軸近傍の流速はケース D よりケース B のほうが大きくなっている。

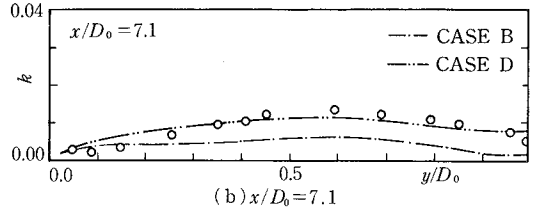
図 5 に各断面の乱流エネルギー  $k$  の計算値 (ケース B と D) および実測値との比較を示す。  $x/D_0 = 4.7$  の  $k$  の分布を見るとケース B がケース D よりも実測値に近い。しかし  $x/D_0 = 7.1$  においてはケース D がケース B よりも実測値に近い。これらから乱流エネルギーの分布としてどちらが良いかは今のところ判断し難い。

4. ま と め

円すいディフューザ内流れの数値解析の第 1 段階として、傾斜面を階段状近似する手法および BFC を用いて傾斜面を正確に表現する手法の 2 通りの数値解析手法の構



(a)  $x/D_0 = 4.7$



(b)  $x/D_0 = 7.1$

図 5 乱流エネルギー  $k$  の分布 (ケース B と D)

成を行い、数値計算を行った。ここでの計算例においては速度分布、乱流エネルギーともに満足できる結果は得られなかった。境界条件の取り扱いおよび傾斜面の表現方法に一層の工夫が必要と思われる。また BFC を用いた計算で壁面速度  $1/7$  乗則を用いているが、これは BFC の利点を十分活用していないことになる。今後は BFC を用いた計算で壁面近傍格子をより密にとり壁面速度 no-slip 条件を課せる低レイノルズ数型  $k-\epsilon$  モデルの適用も検討する必要がある。(1987年11月11日受理)

参 考 文 献

- 1) Kline, S.J. et al., Optimum Design of Straight-Walled Diffusers, Trans. ASME, Ser. D, 81-3 (1959), 321
- 2) Schlichting, H., Boundary Layer Theory, 7th ed., McGraw-Hill (1978), 626
- 3) Hung, P.G. and Leschziner, M.A., Stabilization of Recirculating-Flow Computations Performed with Second-Moment Closures and Third-Order Discretization, Proc. 5th Int. Symp. of Turbulent Shear Flows (1985), 207
- 4) Kobayashi, T. et al. Large Eddy Simulation of Turbulent Flow in Two-Dimensional Channel with Rectangular Turbulence Promoters, Rep. of I.I.S., Univ. of Tokyo, 33-3 (1987), 93
- 5) Kobayashi, T. et al. FDM using boundary-fit curvilinear coordinate transformation (1st Rep.), "SEISAN-KENKYU" 38-12 (1986), 592
- 6) Laufer, J., The Structure of Turbulence in Fully Developed Pipe Flow, NACA, Rep. 1174 (1953), 1
- 7) Okwuobi, P.A.C and Azad, R.S., Turbulence in a Conical Diffuser with Fully Developed Flow at Entry, J. Fluid Mech., 57, part 3 (1973), 603
- 8) Singh, D. and Azad, R.S., Turbulent Kinetic Energy Balance in a Conical Diffuser, Proc. of Turbulence 1981, 21